

## اثر سدیم نیتروپروسايد (SNP) بر برخی ویژگی‌های بیوشیمیایی گیاه دارویی سرخارگل تحت نش شوری [Echinacea purpurea (L.) Moench]

سیده محدثه محمدی<sup>۱</sup>، ولی‌الله رامئه<sup>۲</sup>، مهیار گرامی<sup>۱</sup>، سمانه اسدی صنم<sup>۳\*</sup> و مجید خوش‌روز<sup>۱</sup>

<sup>۱</sup> مؤسسه آموزش عالی غیرانتفاعی سنا، ساری، ایران، <sup>۲</sup> بخش تحقیقات زراعی و باگی، مرکز تحقیقات و آموزش کشاورزی و منابع طبیعی مازندران، سازمان تحقیقات، آموزش و ترویج کشاورزی، ساری، ایران و <sup>۳</sup> بخش تحقیقات گیاهان دارویی، مؤسسه تحقیقات جنگل‌ها و مراتع کشور، سازمان تحقیقات، آموزش و ترویج کشاورزی، تهران، ایران

(تاریخ دریافت: ۱۳۹۵/۰۲/۳۰، تاریخ پذیرش نهایی: ۱۳۹۵/۰۶/۰۷)

### چکیده:

به منظور بررسی اثر سدیم نیتروپروسايد (SNP) بر کاهش نش اکسیداتیو گیاهچه‌های سرخارگل تحت بستر شور، آزمایشی در سال ۱۳۹۴ در گلخانه پژوهشی دانشگاه غیرانتفاعی سنا-ساری، به صورت فاکتوریل و در قالب طرح کاملاً تصادفی با چهار تکرار به اجرا در آمد. در این پژوهش، اثر چهار سطح SNP به عنوان منبع آزادکننده نیتریک اکساید (NO) (صفر، ۰/۱، ۰/۲ و ۰/۴ میلی‌مولار SNP) و سه سطح نش شوری (صفر، ۷۵ و ۱۵۰ میلی‌مولار کلریدسدیم) مورد ارزیابی قرار گرفت. نتایج نشان داد که برهم‌کنش SNP و شوری بر وزن خشک و تر ریشه و برگ، محتوای کاروتونئید، مقدار مالوندی‌آلدهید (MDA) و آنزیم‌های سوپراکسید دیسموتاز (SOD)، پراکسیداز (POD) و آسکوربات پراکسیداز (APX) معنی‌دار بود. با افزایش شوری، مقدار وزن تر و خشک ریشه کاهش یافت، در حالی که تیمار ۰/۲ میلی‌مولار SNP توانست موجب افزایش مقدار این دو شاخص در شرایط شور شود. محتوای کلروفیل‌های a، b و کل با افزایش شوری کاهش نشان داد در حالی که، بیشترین مقدار کاروتونئید در تیمار ۰/۴ میلی‌مولار SNP در نش شوری به دست آمد. بیشترین مقدار MDA (۳۳ نانومول بر گرم بافت تازه) مربوط به سطح صفر SNP و ۱۵۰ میلی‌مولار نش بود. بیشترین فعالیت آنزیم‌های آنتی‌اکسیدانی SOD، POD و APX در تیمار برهم‌کنش ۷۵ میلی‌مولار کلریدسدیم و ۰/۲ میلی‌مولار SNP به دست آمد. بیشترین فعالیت آنزیم کاتالاز (۶/۵۰ میکرومول بر گرم بافت تازه در دقیقه) در غلظت ۰/۲ میلی‌مولار SNP با ۹۰ درصد افزایش نسبت به تیمار شاهد اندازه‌گیری شد. محتوای پروتئین کل، ۵/۴ درصد تحت نش شوری کاهش نشان داد. بیشترین مقدار فنل کل نیز، ۸/۶۸ میلی‌گرم گالیک اسید بر گرم بافت تازه در بالاترین سطح شوری مشاهده شد. به‌طور کلی می‌توان نتیجه گرفت که NO حاصل از پیش‌تیمار SNP توانست از راه افزایش فعالیت آنزیم‌های آنتی‌اکسیدانی موجب افزایش تحمل گیاهچه‌های سرخارگل تحت نش شوری شود.

واژه‌های کلیدی: آنزیم‌های آنتی‌اکسیدان، پروتئین، فنل کل، مالوندی‌آلدهید، نیتریک اکساید

### مقدمه:

ضرورت دارد تا در مورد گیاهان دارویی پژوهش‌های جامعی

صورت گیرد (Hayouni *et al.*, 2008). در بخش تولیدات

گیاهان دارویی، هدف بهبود رشد و نمو برای افزایش مقدار

با توجه به سابقه‌ی استفاده از گیاهان دارویی و نیز تغییر نگرش

در خصوص استفاده از این گیاهان در درمان بیماری‌ها،

NO (Lamattina, 2000) نقش برجسته‌ای دارد. نقش مؤثر NO برونزاد در پاکسازی رادیکال‌های آزاد و کاهش پراکسیداسیون لیپیدها به وسیله Zhang و همکاران (۲۰۰۹)، Tian و Li (۲۰۰۷) در گندم و Li و همکاران (۲۰۰۸) در جو، گزارش شده است. پژوهش‌ها همچنین نشان داده‌اند که تیمار با دهنده NO می‌تواند طی واکنش با ROS‌ها و افزایش فعالیت آنزیم‌های آنتی‌اکسیدان، نقش مهمی در محافظت گیاهان از تنفس‌های اکسیداتیو داشته باشد (Zhang *et al.*, 2009).

ترکیبات فنلی جزیبی از مواد محلول سلولی هستند که اثر خسارت‌زای تنفس را تعدیل می‌کنند. تجمع این ترکیبات در گیاهان متحمل به شوری، از راهکارهای مهار فعالیت رادیکال‌های فعال اکسیژن و محافظت غشای سلول از آسیب‌های تنفس شوری محسوب می‌شود (Singh, 2004). تنفس شوری تولید مالوندی‌آلدهید (MDA) و تخریب غشای سلولی را در گیاهان افزایش می‌دهد (Bandeoglu *et al.*, 2004). با این حال، NO برونزاد می‌تواند نفوذپذیری غشا و پراکسیداسیون لیپیدهای غشا را کاهش داده و از نشت الکتروولیتها جلوگیری کند که این امر حاکی از آن است که NO دارای عملکردهای بازسازی و حفاظت از غشای سلولی (Lei *et al.*, 2007). خسارت به پروتئین‌ها هم، شامل تغییرات اسیدهای آمینه در جایگاه‌های ویژه، قطعه قطعه شدن زنجبیر پیتیدی، تغییر بارالکتریکی و در نهایت مستعد شدن پروتئین برای پروتولیز نیز در نتیجه تنفس شوری ایجاد می‌شود (Noctor and Foyer, 1998). تیمار گیاهان با SNP، نقش بسزایی در حفاظت پروتئین‌ها در شرایط تنفس دارد (نصیبی، ۱۳۹۰).

در تنفس شوری، مقدار گونه‌های اکسیژن واکنش‌گر (ROS) مانند رادیکال‌های سوپراکسید ( $O_2^-$ ) و رادیکال‌های هیدروکسیل (OH) افزایش یافته که به دنبال آن آنزیم‌های آنتی‌اکسیدان مانند سوپراکسید دیسموتاز (SOD)، پراکسیداز (POD)، کاتالاز (CAT) و پلی‌فنول‌اکسیداز (PPO) در جهت مهار ROS‌ها و کاهش اثرات سمی افزایش پیدا می‌کنند (Mittler, 2002). همچنین بیان شده است که NO تحت تنفس

زیست‌توده و محتواهای دارویی با استفاده از روش‌های بهزراعی و بهنژادی برای تولید حداقل‌تر مواد مؤثر است (امیدبیگی، ۱۳۸۴). سرخارگل با نام علمی *Echinacea purpurea* متعلق به تیره گل‌ستاره (Asteraceae) است که منشأ آن آمریکای شمالی گزارش شده است (McGrogor, 1968). این گیاه، علفی و چندساله با ریزوم‌های کوتاه، ریشه‌های مستقیم و کم و بیش منشعب می‌باشد. سرخارگل در مکان‌های مرطوب، پرنور و در خاک‌های با بافت متوسط، حاصلخیز و غنی از ترکیبات هوموسی و دارای مقدار مناسب نیتروژن می‌روید (دادمان و همکاران، ۱۳۸۴). این گیاه دارای ترکیبات مؤثره، آلکیل‌آمیدی، پلی‌ساکاریدی و نیز اسانس است (Bauer and Rimiger, 1989). ترکیبات ثانویه سرخارگل، خاصیت ضد میکروبی، ضد سلطان، ضد عفونت‌های معمولی داشته (Melchert and Line, 1994) و موجب تقویت سیستم ایمنی بدن از راه پیش‌گیری و درمان سرماخوردگی معمولی، درمان سرفه، برونشیت و عفونت‌های ریوی می‌شود و مقاومت بدن را در برابر بیماری‌ها افزایش می‌دهد (Bauer, 1999).

شوری یکی از مهم‌ترین تنفس‌های غیرزیستی در کشاورزی است که بهره‌برداری اقتصادی از زمین‌ها را برای تولید گیاهان زراعی محدود می‌کند و موجب کاهش رشد و باروری گیاهان می‌شود. در بیشتر گونه‌های گیاهی، حساس‌ترین مرحله رشد به تنفس شوری، مراحل اولیه رشد شناخته شده و بیشتر پژوهش‌ها هم، در همین مرحله از رشد انجام گرفته است. تحت شرایط شور به دلیل کاهش تعداد و اندازه برگ، سطح فتوسنتز کننده گیاه کم شده و در نهایت تولید ماده خشک اندام‌های رویشی گیاه در گیاهان کاهش می‌یابد (Zekri and Parsons, 1990).

سدیم‌نیتروپروساید (SNP) یک ترکیب رهانکننده نیتریک‌اکساید (NO) است که نقش آن در گیاهان موضوع پژوهش‌های مهم بی‌شماری است. NO یک رادیکال آزاد فعال زیستی و یک مولکول پیام‌رسان است که در بسیاری از واکنش‌های گیاهان مانند واکنش به پاتوژن‌ها (Klessig *et al.*, 2000)، جوانهزنی دانه، رسیدگی میوه و پیری (Beligni and

به عنوان شاهد برای سطح صفر SNP و سطح صفر شوری (بستر غیر شور) استفاده شد. در این آزمایش، نشاھای سه ماهه گیاه سرخارگل از پژوهشکده گیاهان دارویی جهاد دانشگاهی کرج تهیه شد. شش گیاهچه سرخارگل در هر تکرار و برای هر تیمار، در گلدان‌های پلاستیکی یک لیتری حاوی پرلیت نشاکاری شدند و به گلخانه با ۱۸ ساعت روشناختی (۸۰۰۰ تا ۱۰۰۰۰ لوکس نور) و شش ساعت تاریکی، رطوبت نسبی ۶۰ درصد و میانگین دمایی  $25 \pm 3$  درجه سلسیوس منتقل شدند. ۲۰ میلی‌لیتر محلول غذایی هوگلنند نیز دوبار در هفته برای تأمین مواد غذایی به گلدان‌ها اضافه شد. پس از سازگاری گیاهچه‌ها برای سه هفته در بستر پرلیت، غلاظت صفر، ۷۵ و ۱۵۰ میلی‌مolar نمک کلرید سدیم برای ایجاد بستر غیرشور و شور به همراه سطوح مختلف SNP به گیاهان اضافه شد. اعمال تیمارها این‌گونه بود که پس از آماده‌سازی محلول‌ها برای هر تیمار، ۱۰ میلی‌لیتر از محلول هوگلنند را با ۱۰ میلی‌لیتر از تیمار مورد نظر ترکیب و به حجم ۲۰ میلی‌لیتر رسانده و سپس یک روز در میان به گیاهان اضافه شدند. پس از دو هفته از اعمال تیمارها، برگ و ریشه گیاهچه‌ها برای اندازه‌گیری ماده خشک در آون تهويه‌دار در دمای ۱۰۵ درجه سلسیوس خشک شده و سپس با ترازوی دقیق توزین شدند. برگ‌های یکنواخت گیاهچه‌ها در هر تکرار نیز برای ارزیابی ویژگی‌های بیوشیمیایی جمع‌آوری و پس از شستشو به سرعت در نیتروژن مایع قرار گرفتند. برگ‌های جمع‌آوری شده پس از خروج از نیتروژن مایع در فریزر -۸۰ درجه سلسیوس نگهداری شدند تا مقدار کلروفیل و کاروتونئید برگ، پراکسیده شدن لپیدها (MDA)، فعالیت آنزیم‌های آنتی‌اکسیدانی سوپراکسیدیسموتاز (SOD)، پراکسیداز (POD)، آسکوربات‌پراکسیداز (APX) و کاتالاز (CAT) موجود در آن‌ها، محتواهی پروتئین کل و فنل کل اندازه‌گیری شد.

**تعیین کلروفیل و کاروتونئید برگ:** برای تعیین مقدار کلروفیل و کاروتونئید برگ از روش Arnon (۱۹۶۷) استفاده گردید. ابتدا مقدار ۰/۰۵ گرم از بافت تازه برگ گیاه با کمک نیتروژن مایع در هاون چینی آسیاب شده و با یک میلی‌لیتر

شوری سبب افزایش معنی‌دار فعالیت آنزیم‌های آنتی‌اکسیدانی می‌شود و سطح این آنزیم‌ها به طور معنی‌داری در تیمارهای بدون SNP کمتر می‌باشد که نشان دهنده دخالت مستقیم NO به عنوان یک آنتی‌اکسیدان در کاهش سطح ROS‌ها می‌باشد (Yoqi *et al.*, 2009). در این راستا در پژوهش‌های انجام شده بر سرخارگل (*E. purpurea*)، Sabra و همکاران (۲۰۱۲) در بررسی پاسخ‌های بیوشیمیایی و فیزیولوژیکی سرخارگل در شرایط شور (۰، ۵۰، ۷۵ و ۱۰۰ میلی‌مolar)، افزایش فعالیت آنزیم‌های APX و کاهش فعالیت آنزیم CAT را در همه‌ی سطوح شوری نشان دادند. Yadolahi Zadeh و همکاران (۲۰۱۵) هم در بررسی جوانه‌زنی سرخارگل به سطوح مختلف شوری (۰، ۲۰، ۴۰، ۶۰ و ۸۰ میلی‌مolar کلروفیل)، حساسیت بالای گیاه به شوری در مرحله جوانه‌زنی را بیان کردند. Mirjalili و Miri (۲۰۱۳) در بررسی اثر تنش شوری بر جوانه‌زنی بذر و برخی ویژگی‌های فیزیولوژیک در مراحل اولیه رشد سرخارگل، پیش‌تیمار اولیه بذر را توصیه کردند. با این وجود، اطلاعات اندکی در زمینه بررسی اثر کاربرد تیمارهای شیمیایی به منظور کاهش اثرات نامطلوب شوری در دسترس است. بنابراین، پژوهش کنونی به منظور بررسی تأثیر NO خارجی به عنوان یک آنتی‌اکسیدان مؤثر و تأثیر مطلوب آن در کاهش تنش اکسیداتیو و افزایش مقاومت گیاهچه‌های سرخارگل در بستر شور، اجرا شد.

### مواد و روش‌ها:

این پژوهش با هدف بررسی اثر NO خارجی به عنوان یک آنتی‌اکسیدان مؤثر و تأثیر آن بر کاهش تنش اکسیداتیو گیاهچه‌های سرخارگل در بستر شور، به صورت یک آزمایش فاکتوریل در قالب طرح کاملاً تصادفی با چهار تکرار در گلخانه پژوهشی دانشگاه غیرانتفاعی سنا-ساری در بهار سال ۱۳۹۴ به اجرا درآمد. تیمارهای آزمایشی شامل چهار سطح سدیم نیتروپروساید (SNP) با غلاظت‌های صفر، ۰/۱، ۰/۲ و ۰/۴ میلی‌مolar SNP و سه سطح شوری صفر، ۷۵ و ۱۵۰ میلی‌مolar محلول کلروفید سدیم (NaCl) بود. از آب خالص استریل هم،

غاظت مالوندی‌آلدهید بر حسب نانومول بر گرم بافت تازه محاسبه شد.

**استخراج و سنجش فعالیت آنزیم‌های آنتی اکسیدانی:** ۰/۵ گرم بافت تازه برگ با کمک نیتروژن مایع در هاون چینی آسیاب شده و پس از آن به بافت آسیاب شده، یک میلی‌لیتر بافر فسفات ۵۰ میلی‌مولا ر حاوی ETDA ۰/۵ مولا و پلی‌وینیل‌پیرولیدون (PVPP) (Polyvinylpyrrolidone) دو درصد اضافه و در دمای چهار درجه سلسیوس به مدت ۲۰ دقیقه در rpm ۱۴۰۰۰ سانتریفیوژ شد. سپس محلول رویی APX، CAT، POD، SOD برای اندازه‌گیری فعالیت آنزیم‌های آنتی اکسیدانی اسپکتروفوتومتر مدل (PG Instrument+T80) انجام گرفت. برای تعیین مقدار کلروفیل‌های a و b و کاروتینوئید از فرمول‌های ۱، ۲، ۳ استفاده شد:

استون ۸۰ درصد مخلوط شد. سپس، مخلوط به دست آمده به مدت ۱۰ دقیقه با دستگاه سانتریفیوژ مدل (Eendorf 5417 R) در rpm ۶۰۰۰ سانتریفیوژ شد و در نهایت عصاره استونی شفاف را جدا کرده و پس از نیم ساعت تاریکی، اندازه‌گیری کلروفیل در دو طول موج ۶۶۳ و ۶۴۵ نانومتر و اندازه‌گیری کاروتینوئید در طول موج ۴۷۰ نانومتر با استفاده از دستگاه اسپکتروفوتومتر مدل (PG Instrument+T80) انجام گرفت.

$$Chla = (19.3 \times A_{663} - 0.86 \times A_{645}) V/100W \quad (1)$$

$$Chlb = (19.3 \times A_{645} - 3.6 \times A_{663}) V/100W \quad (2)$$

$$Chl = (19.3 \times A_{663} - 0.86 \times A_{645}) V/100W \quad (3)$$

### Carotenoids =

$$100 (A_{4470}) - 3.27(mg\ chla) - 104(mg\ Chlb)/227 \quad (4)$$

که در روابط بالا،  $A_{663}$  و  $A_{645}$  به ترتیب جذب نور در طول موج‌های ۶۶۳، ۶۴۵ و ۴۷۰ می‌باشد. V: حجم عصاره صاف شده و W: وزن تر نمونه بر حسب گرم است.

**سنجش مالوندی‌آلدهید (MDA):** در سنجش پراکسیداسیون لیپیدهای غشا، غاظت مالوندی‌آلدهید (MDA) به عنوان محصول پراکسیده شدن اسیدهای چرب غشاها به Packer و Heath (۱۹۶۸) صورت گرفت. در ابتدا ۰/۵ گرم از بافت تازه برگی با نیتروژن مایع در هاون چینی آسیاب گردید و به آن پنج میلی‌لیتر تری‌کلرو استیک اسید (TCA) یک درصد اضافه شد. عصاره به دست آمده به مدت ۲۰ دقیقه با دستگاه سانتریفیوژ در ۱۴۰۰۰ rpm در دمای چهار درجه سلسیوس سانتریفیوژ شد. سپس به یک میلی‌لیتر از محلول رویی، پنج میلی‌لیتر محلول ۲۰ درصد TCA حاوی ۰/۵ درصد تیوباربیتوریک اسید (TBA) اضافه شد. مخلوط حاصل به مدت ۳۰ دقیقه در دمای ۹۵ درجه سلسیوس قرار گرفت و بلافارسله در یخ، سرد شد. سپس نمونه‌ها مجدداً در ۱۰۰۰۰ rpm به مدت پنج دقیقه سانتریفیوژ شدند. ماده قرمز رنگ مالوندی‌آلدهید تیوباربیتوریک اسید (MDA-TBA) تولید شده در طول موج ۵۳۲ نانومتر با استفاده از اسپکتروفوتومتر اندازه‌گیری شد و جذب سایر رنگیزه‌های اختصاصی در ۶۰۰ نانومتر خوانده شد.

سنجد فعالیت آنزیم SOD با استفاده از روش Giannopolitis و Reis (۱۹۷۷) انجام شد. محلول واکنش آنزیمی شامل ۹۳۵ میکرو‌لیتر بافر فسفات ۵۰ میلی‌مولا ر حاوی اتیلن دی‌آمین تترالستیک اسید (EDTA) ۰/۱ میلی‌مولا، ۷۵ میکرونولا، ۱۳ میلی‌مولا و نیتروبلو-تترازولیم کلرايد (NBT) ۰/۱۲ میکرومولا، به علاوه ۱۵ میکرو‌لیتر ریبوفلاوین ۰/۵ میلی‌مولا و ۵۰ میکرو‌لیتر عصاره آنزیمی استخراج شده بود. کووت‌های حاوی محلوت واکنش، به مدت ۱۵ دقیقه در حالی که به آرامی تکان داده می‌شدند در معرض نور فلورسانس قرار گرفتند و سپس جذب نمونه‌ها در طول موج ۵۶۰ نانومتر قرائت شد. برای سنجش فعالیت این آنزیم، علاوه بر کووت‌های نمونه و بلانک از کووت شاهد همراه با نمونه‌ها در برای خواندن نمونه‌ها، کووت شاهد همراه با نمونه‌ها در معرض نور قرار گرفته و کووت بلانک در تاریکی قرار داده شد. سپس جذب آن، با دستگاه اسپکتروفوتومتر در طول موج ۵۶۰ نانومتر خوانده شده و فعالیت آنزیمی بر حسب میکرومولا بر گرم بافت تازه محاسبه شد.

برای سنجش فعالیت آنزیم POD از روش In و همکاران (۲۰۰۷) استفاده شد. به این منظور ۴۹۰ میکرو‌لیتر آب اکسیژنه ۲۲۵ میلی‌مولا ر و ۴۹۰ میکرو‌لیتر محلول گایاکول ۴۵ میلی‌مولا با هم مخلوط گردید و به آن ۲۰ میکرو‌لیتر عصاره

سدیم به آن اضافه شد. مقدار جذب مخلوط واکنش، پس از ۱۲۰ دقیقه نگهداری در شرایط بدون نور در طول موج ۷۶۵ نانومتر با دستگاه اسپکتروفوتومتر خوانده شد. مقدار فنل کل از روی منحنی استاندارد گالیک اسید بر حسب میلی‌گرم گالیک اسید در گرم بافت تازه بیان شد.

تجزیه آماری داده‌ها با استفاده از نرمافزار SAS نسخه ۹/۱ (SAS Institute, 2002) و مقایسه میانگین تیمارها با آزمون حداقل تفاوت معنی‌دار (LSD) و در سطح احتمال پنج درصد ( $\leq 0.05$ ) انجام شد. نمودارها با نرم افزار Excel رسم شد.

### نتایج و بحث:

پژوهش‌های انجام شده در ارتباط با تأثیر تنفس شوری بر ویژگی‌های زراعی گیاهان، حاکی از اثر منفی و کاهنده شوری بر میزان وزن تر و خشک بخش هوایی و سیستم ریشه گیاهان است (Ashraf, 2001). نتایج تجزیه واریانس داده‌های آزمایش حاضر (جدول ۱) نشان داد که برهمکنش شوری و SNP بر صفات وزن تر برگ، وزن تر ریشه، وزن خشک برگ و وزن خشک ریشه در سطح احتمال یک درصد معنی‌دار بود.

**وزن تر برگ و ریشه:** با توجه به نتایج آزمایش، با افزایش سطوح شوری مقدار وزن تر برگ و ریشه کاهش یافت (شکل ۱)، با این وجود سطوح مختلف تیمار SNP توانست موجب افزایش مقدار وزن تر برگ و ریشه در شرایط شور شود. در این آزمایش، بیشترین مقدار وزن تر برگ در تیمار شاهد ۱۳۶ گرم در واحد بوته و کمترین مقدار آن (۴۱٪) گرم در واحد بوته در سطح ۱۵۰ میلی‌مولاًر شوری و صفر SNP به دست آمد (شکل ۱). همچنین تیمار ۰/۲ میلی‌مولاًر SNP دارای اثربخشی بیشتری در افزایش مقدار وزن تر ریشه در شرایط شور نسبت به سایر سطوح SNP بوده است (شکل ۱).

**وزن خشک برگ و ریشه:** در این آزمایش، اثر برهمکنش شوری و SNP بر وزن خشک برگ و ریشه معنی‌دار بود (جدول ۱). با توجه به شکل (۲)، با افزایش سطوح شوری، میزان وزن خشک برگ و ریشه کاهش معنی‌داری نشان داد. با این وجود، کاربرد تیمار ۰/۲ میلی‌مولاًر SNP توانست بیش

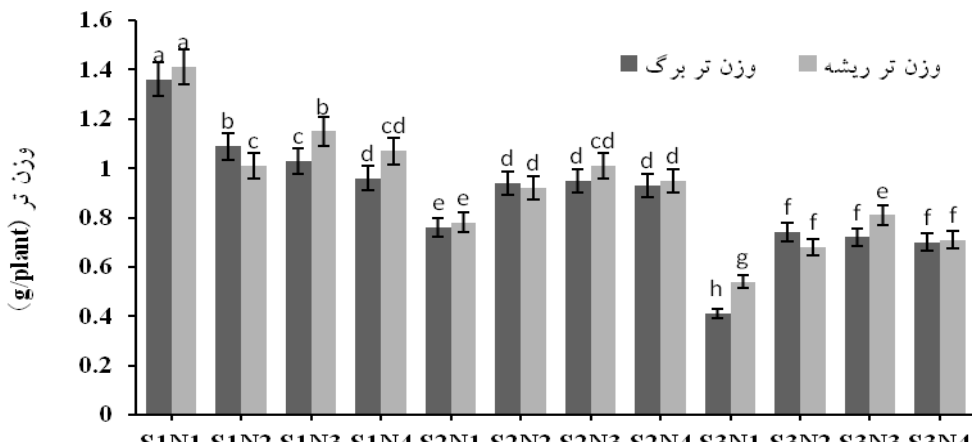
آنزیمی اضافه شد. تغییرات جذب در طول موج ۴۷۰ نانومتر با استفاده از دستگاه اسپکتروفوتومتر خوانده شد. در محلول بلانک به جای عصاره آنزیمی، بافر فسفات ۵۰ میلی‌مولاًر استفاده شد. فعالیت آنزیمی بر حسب میکرومول بر گرم بافت تازه در دقیقه محاسبه شد.

برای سنجش فعالیت آنزیم APX از روش Nakano و Asada (۱۹۸۱) استفاده شد. به این منظور ۷۷۰ میکرولیتر بافر EDTA ۵۰ میلی‌مولاًر با pH ۷ هفت با ۱۰۰ میکرولیتر ۰/۱ میلی‌مولاًر آسکوربیک اسید پنج میلی‌مولاًر ۱۰۰ میکرولیتر، ۱۰۰ میکرولیتر آب‌اکسیژنه ۰/۱ میلی‌مولاًر مخلوط شدند. سپس، با اضافه کردن ۲۰ میکرولیتر عصاره آنزیمی، منحنی تغییرات جذب در طول موج ۲۹۰ نانومتر خوانده شد. فعالیت آنزیمی بر حسب میکرومول بر گرم بافت تازه در دقیقه محاسبه شد.

برای سنجش فعالیت آنزیم CAT از روش Luck (۱۹۷۴) با اندکی تغییرات استفاده شد: ۲۰ میکرولیتر عصاره آنزیمی با ۹۸۰ میکرولیتر از بافر فسفات حاوی آب‌اکسیژنه دو میلی‌مولاًر مخلوط و تغییرات جذب آن‌ها در طول موج ۲۴۰ نانومتر با استفاده از دستگاه اسپکتروفوتومتر خوانده شد. فعالیت آنزیمی بر حسب میکرومول بر گرم بافت تازه در دقیقه محاسبه شد.

**سنجش پروتئین کل:** مقدار پروتئین کل محلول به روش Bradford (۱۹۷۶) در طول موج ۵۹۵ نانومتر با دستگاه اسپکتروفوتومتر تعیین شد. در نهایت، غلظت پروتئین نمونه‌ها با استفاده از رسم منحنی استاندارد (سرم آلبومین) محاسبه شد.

**استخراج و سنجش فنل کل:** یک گرم از بافت برگ با استفاده از نیتروژن مایع آسیاب شد و به آن ۱۰ میلی‌لیتر محلول متابول ۸۰ درصد اضافه گردید. پس از هموژنیزه کردن با کمک ورتکس، نمونه‌ها در ۱۰۰۰ دور به مدت ۱۰ دقیقه سانتریفیوژ شدند. پس از جدا کردن فاز روبی، سنجش فنل کل با روش Folin-Ciocalteu انجام گرفت (Meyers et al., 2003). در این روش عصاره متابولی استخراج شده را با ۱۲۵ میکرولیتر معرف فولین (۱۰ درصد) مخلوط کرده و پس از پنج دقیقه در دمای ۳۵ درجه سلسیوس، ۱۰۰ میکرولیتر محلول هفت درصد بی‌کربنات



تیمارهای آزمایش

شکل ۱- اثر برهم کنش تیمارهای شوری و SNP بر وزن تر برگ و ریشه. مقادیر، میانگین سه تکرار  $\pm$  SE (خطای معیار) است. حروف متغّرات بیانگر اختلاف معنی دار با استفاده از آزمون LSD است. S1 تا S3 به ترتیب سطح صفر، ۷۵ و ۱۵۰ میلی مولار محلول NaCl تا N4 به ترتیب سطح صفر، ۰/۱، ۰/۲ و ۰/۴ میلی مولار محلول (SNP)

جدول ۱- تجزیه واریانس اثرات شوری و SNP بر زیست توده گیاهچه سرخارگل

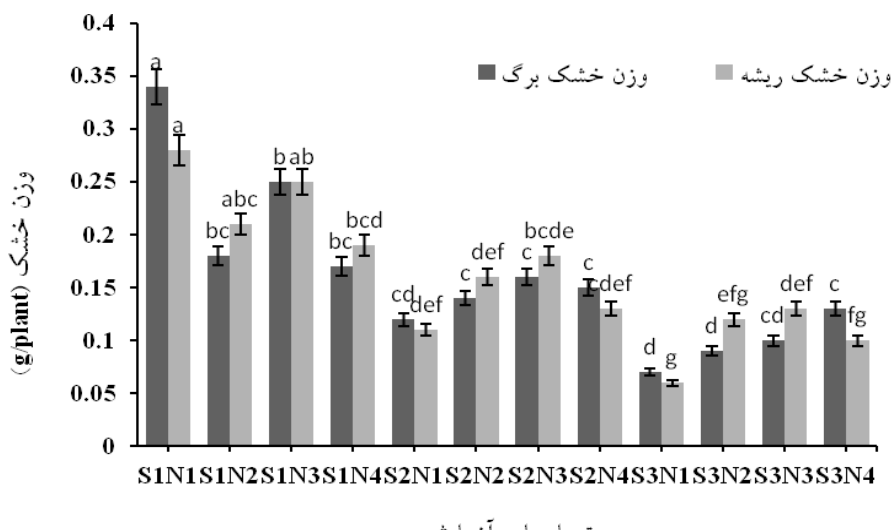
منابع تغییرات	درجه آزادی	میانگین مربعات							
		وزن تر برگ	وزن تر ریشه	وزن خشک برگ	وزن خشک ریشه	کل کلروفیل	کاروتینوئید	کل کلروفیل	b
شوری (S)	۲	۰/۳۹۸**	۰/۰۵۴**	۰/۰۱۹**	۰/۰۱۳**	۷۵/۰	۲۴۶/۹**	۳۰۳۹/۷**	۸۱۵/۲**
سدیم نیتروپروپوساید (N)	۳	۰/۲۰۸**	۰/۱۷۱**	۰/۰۱۷**	۰/۰۱۶**	۶۳/۰ ns	۵۵۱/۶**	۱۰۴۱/۸**	۶۱۷/۹**
S × N	۶	۰/۰۲۲**	۰/۱۰۱**	۰/۰۱۴**	۰/۰۰۹**	۱۰/۰۰ ns	۴۰۹/۲**	۹۷/۷ ns	۶۳/۷ ns
خطای آزمایش	۲۴	۰/۰۰۱	۰/۰۰۲	۰/۰۰۱	۰/۰۰۱	۲۴/۷	۵۸/۰۴	۶۳/۰۶	۲۴/۷
ضریب تغییرات (درصد)	۶	۶/۷	۸/۰۷	۱۵/۳	۱۵/۳	۷/۴	۷/۷	۵/۲	۵/۲

\*\*= اختلاف معنی دار در سطح یک درصد.

رشد و نمو، فتوستتر، جذب و انتقال یونها و تغییر فعالیت برخی آنزیم‌های مهم (El-Tayeb, 2005) موجب بهبود ماده خشک گیاهچه‌های سرخارگل در بستر شور شده باشد. کلروفیل و کاروتینوئید برگ: با توجه به نتایج تجزیه واریانس داده‌ها (جدول ۱)، برهم کنش اثر شوری و SNP بر محتوای کاروتینوئید برگ سرخارگل معنی دار شد ولی اثر آن بر محتوای کلروفیل برگ گیاهچه‌ها معنی دار نبود. با این حال، اثر ساده شوری بر مقدار کلروفیل a و کلروفیل کل معنی دار بود (جدول ۱). نتایج هم‌چنین نشان می‌دهد که اثر ساده تیمار SNP تنها بر مقدار کلروفیل a معنی دار نشده است (جدول ۱).

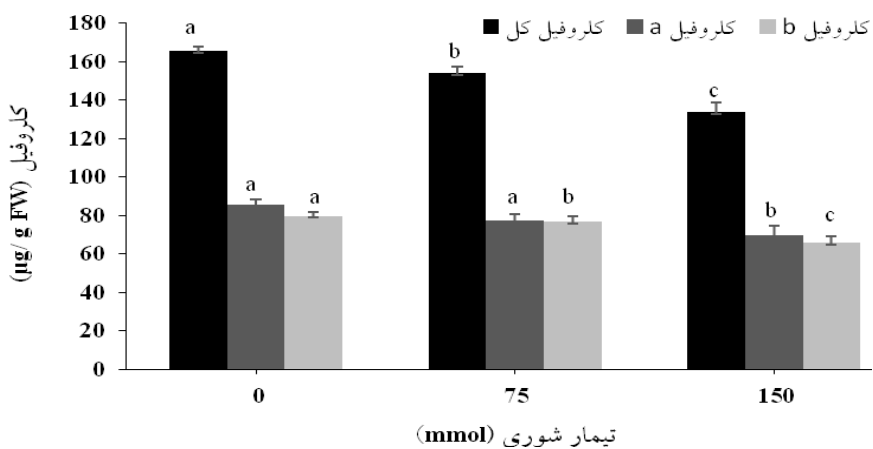
ترین مقدار وزن خشک برگ و ریشه را در شرایط شور ثبت کند. این نتایج با یافته‌های کوهی‌فایق و همکاران (۱۳۹۲) در گیاه زیتون تلخ (*Melia azedarach*) مطابقت دارد. در نتایج آنها با افزایش شوری (۵، ۱۰ و ۲۰ دسی‌زیمنس بر متر)، وزن خشک ریشه در همه غلظت‌ها کاهش معنی داری نشان داد و کاربرد SNP توانست باعث افزایش و بهبود وزن خشک ریشه به ویژه در شوری ۲۰ دسی‌زیمنس بر متر شود.

به نظر می‌رسد ماده مذکور به علت نقش اساسی در کاهش مقدار پراکسیداسیون لیپیدی و خسارت به رنگیزه‌ها در مقابل تنش اکسیدانی و هم‌چنین تقویت فعالیت‌های بیولوژیکی مانند



تیمارهای آزمایش

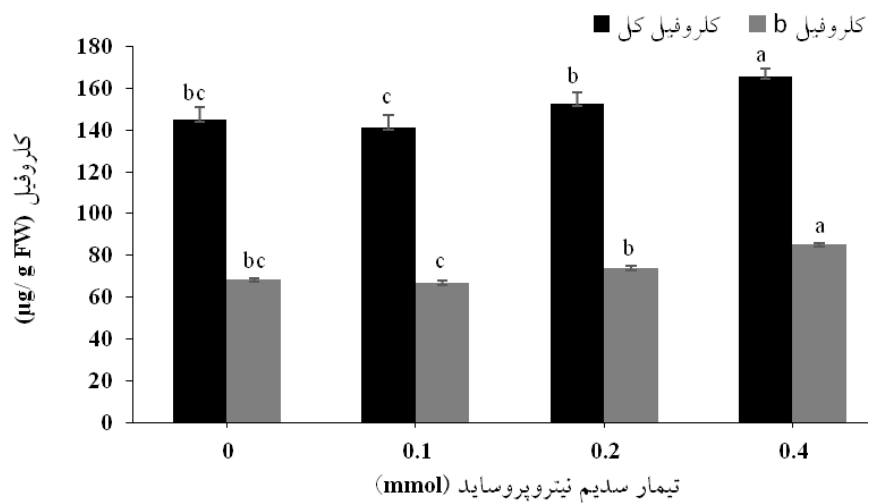
شکل ۲- اثر برهم‌کنش تیمارهای شوری و SNP بر وزن خشک برگ و ریشه. مقادیر، میانگین سه تکرار  $\pm$  SE (خطای معیار) است. حروف متفاوت بیانگر اختلاف معنی‌دار با استفاده از آزمون LSD است. (S1 تا S3 به ترتیب سطح صفر، ۷۵ و ۱۵۰ میلی‌مولار محلول NaCl N1 تا N4 به ترتیب سطح صفر، ۰/۱، ۰/۲ و ۰/۴ میلی‌مولار محلول SNP)



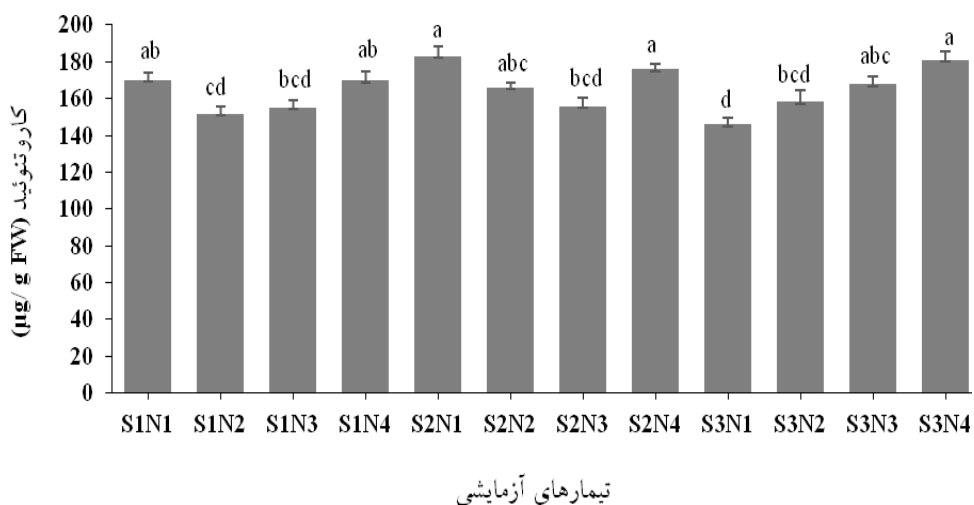
شکل ۳- اثر ساده سطوح شوری بر محتوای کلروفیل a، b و کل برگ سرخارگل. مقادیر، میانگین سه تکرار  $\pm$  SE (خطای معیار) است. حروف متفاوت بیانگر اختلاف معنی‌دار با استفاده از آزمون LSD است.

آزمایش، با افزایش سطوح SNP، مقدار کلروفیل کل و b افزایش یافت به طوری که بیشترین مقدار آنها در سطح ۰/۴ میلی‌مولار SNP ثبت شد (شکل ۴). کاربرد SNP تحت شرایط شور در مطالعه Boyatshinov و Asafova (۲۰۱۱)، توانست مقدار کلروفیل برگ گندم را افزایش دهد. همچنین، Li و SNP همکاران (۲۰۰۷) با کاربرد غلظت ۰/۲ میلی‌مولار افزایش مقدار کلروفیل و Tu و همکاران (۲۰۰۳) با استفاده از ترکیب ۰/۱ میلی‌مولار SNP، جلوگیری از تخریب کلروفیل

با توجه به نتایج اثر ساده شوری در این آزمایش، بیشترین محتوای کلروفیل را تیمار شاهد (بستر غیر شور) نشان داد و با افزایش سطح شوری مقدار کلروفیل کل، a و b کاهش یافت (شکل ۳). این نتیجه موافق با نتایج Kaya و همکاران (۲۰۱۳) در گیاه ذرت، Jamil و همکاران (۲۰۰۵) در گیاه شب بو (Matthiola incana) و دهقانی و مستاجران (۱۳۸۹) در گیاه زنجبل (Zingiber officinal) است که کاهش محتوای کلروفیل برگ را در شرایط شور گزارش کردند. در این



شکل ۴- اثر ساده سطوح SNP بر محتوای کلروفیل b و کل برگ سرخارگل. مقادیر، میانگین سه تکرار  $\pm$  SE (خطای معیار) است. حروف متفاوت بیانگر اختلاف معنی دار با استفاده از آزمون LSD است.



شکل ۵- اثر برهم کنش تیمارهای شوری و SNP بر محتوای کاروتینوئید برگ سرخارگل. مقادیر، میانگین سه تکرار  $\pm$  SE (خطای معیار) است. حروف متفاوت بیانگر اختلاف معنی دار با استفاده از آزمون LSD است. (S1 تا S3 به ترتیب سطح صفر، ۷۵ و ۱۵۰ میلی مولار محلول SNP تا N1 تا N4 به ترتیب سطح صفر، ۰/۱، ۰/۲ و ۰/۴ میلی مولار محلول NaCl)

و نیز عدم عملکرد صحیح روزندها با افزایش سدیم در محیط رشد گیاه می تواند در نهایت منجر به کاهش فتوستتر و رشد گیاهچه ها شود (Netondo *et al.*, 2004). با این حال، ترکیب SNP استفاده شده در این آزمایش احتمالاً می تواند از راه کاهش خسارت به رنگربزه ها در مقابل تنش اکسیداتیو از گیاهچه ها محافظت نموده (نصبی و همکاران، ۱۳۹۰) و در حفظ رنگربزه ها نقش مؤثری داشته باشد.

و تأخیر در پیری برگ های گندم را گزارش کردند. در این آزمایش، تیمار ۰/۴ میلی مولار SNP توانست اثر خسارت زای شوری را بهبود بخشد و بیشترین محتوای کاروتینوئید را در بین تیمارهای تنش دیده پس از شاهد (سطح صفر SNP) نشان دهد (شکل ۵). در بین رنگدانه های فتوستتری، کاروتینوئیدها نقش حفاظتی مهمی در مقابل تنش اکسیداتیو القا شده دارند؛ کاهش این رنگدانه ها در تنش شوری

جدول ۲- تجزیه واریانس اثر شوری و SNP بر فعالیت آنزیم‌های آنتی‌اکسیدان، تغییرات فنل کل، غلظت MDA و پروتئین کل در برگ سرخارگل

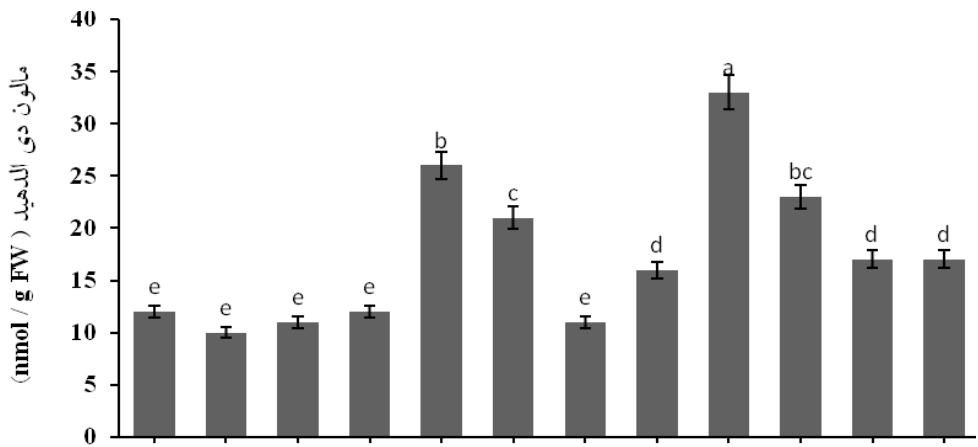
	فنل کل	پروتئین کل	MDA	CAT	APX	POD	SOD	درجه آزادی	منابع تغییرات
۲۴/۴**	۲۷/۴**	۴۰۰/۳**	۴/۷۰**	۸۸/۲۱**	۹/۴۱**	۵۸/۸۰**	۲	شوری (S)	
۰/۵۱**	۶/۰۷**	۱۸۶/۳**	۱۵/۴۶**	۱۶۱۲/۳۵**	۱/۷۶**	۲۰/۸۴**	۳	سدیم نیتروپروساید (N)	
۰/۲۸ns	۱/۰۵ns	۵۵**	۱/۱۰ns	۱۱۶/۶۴**	۱/۱۲**	۷/۸۱**	۶	S × N	
۱/۲۲	۰/۸۰	۲/۱۲	۰/۶۳	۴/۴۱	۰/۰۹	۱/۵۳	۲۴	خطای آزمایش	
۱۵/۰۵	۲/۴	۸/۳	۶/۱	۸/۴	۸/۷	۱۰		ضریب تغییرات (درصد)	

- آنزیم سوپراکسید دیسموتاز، POD: آنزیم آسکوربات پراکسیداز، APX: آنزیم پراکسیداز، CAT: آنزیم کاتالاز. \*\* = اختلاف معنی‌دار در سطح یک درصد و ns = عدم وجود اختلاف معنی‌دار.

پراکسیداسیون لیپیدها، مربوط به توانایی NO در واکنش با رادیکال‌های آزاد و در نتیجه، توقف زنجیره پراکسیداسیون لیپیدها باشد (Lei *et al.*, 2007).

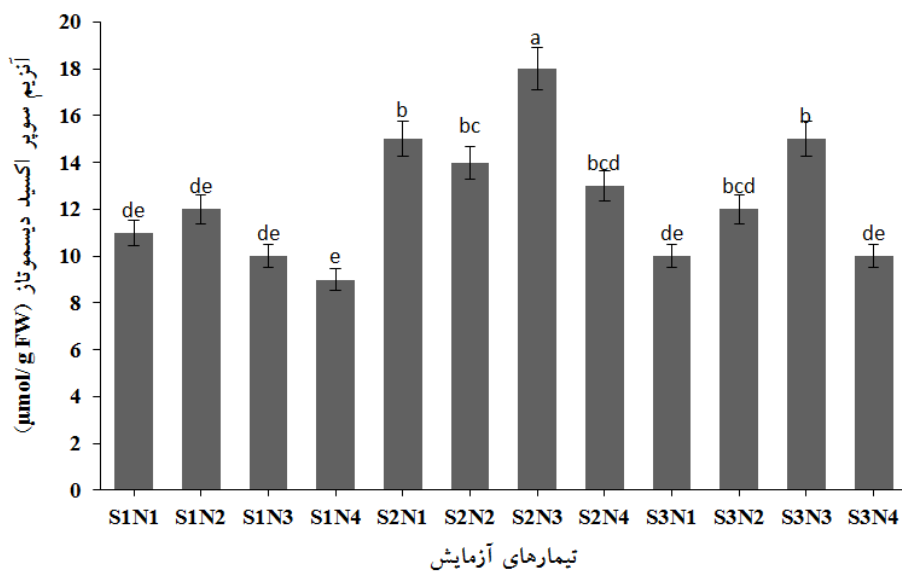
آنزیم‌های آنتی‌اکسیدان: بر پایه نتایج به دست آمده از جدول تجزیه واریانس، برهمکنش شوری و SNP بر مقدار فعالیت آنزیم‌های SOD و APX معنی‌دار بود اما این برهمکنش بر مقدار فعالیت آنزیم CAT معنی‌دار نبود (جدول ۲). فعالیت آنزیم SOD در سلول‌ها، در پاسخ به شرایط مختلف محیطی و تنش‌های غیرزیستی مانند نور بالا، شوری و خشکی افزایش پیدا می‌کند (Kiraly and Czovek, 2002). با توجه به نتایج به دست آمده از آزمایش حاضر، مشاهده شد که تیمار ۰/۲ میلی‌مولاR SNP توانست اثر خسارت‌زای تنش شوری را بهبود ببخشد به طوری که بیشترین فعالیت آنزیم SOD (۱۸/۲) میکرومول بر گرم بافت تازه) در غلظت ۰/۲ میلی‌مولاR SNP در شوری ۷۵ میلی‌مولاR به دست آمد (شکل ۷). این نتیجه مشابه با نتایج Yuqi و همکاران (۲۰۰۹) روی گیاه ویرجینیکا بود که افزایش فعالیت آنزیم SOD را در تیمار با SNP در شرایط شور نشان دادند. ترکیب SNP به عنوان دهنده NO، از طرفی با تبدیل آنیون سوپراکسید به پراکسیدهیدروژن، این آنیون را از سلول حذف می‌کند و از طرفی دیگر با القای آنزیم‌های آنتی‌اکسیدان مانند آنزیم APX، سمیت آب اکسیژنه را کاهش می‌دهد (Beligni and Lamattina, 2001).

**مالون‌دی‌آلدهید (MDA):** تنش شوری سبب کاهش یکپارچگی غشای سلولی، آزاد شدن الکتروولیت‌ها و مواد درون سلول می‌شود. بر اساس نتایج پژوهش حاضر، برهمکنش شوری و SNP بر مقدار MDA برگ سرخارگل معنی‌دار (≤۰/۰۱) بود (جدول ۲). نتایج این پژوهش نشان می‌دهد که روند تغییرات MDA ناشی از افزایش مقدار SNP در هر یک از سطوح شوری، روند کاهشی مشابه داشت؛ به طوری که بیشترین مقدار MDA (۳۳ نانومول بر گرم بافت تازه) در سطح ۱۵۰ میلی‌مولاR کلریدسدیم و تیمار عدم کاربرد SNP مشاهده شد (شکل ۶). در شرایط عدم شور هم، همه سطوح SNP در یک گروه آماری قرار گرفتند که دارای اختلاف معنی‌دار نبودند (شکل ۶). این نتایج با یافته‌های احمدپور دهکردی و بلوجی (۱۳۹۱) در گیاهچه‌های سیاهدانه (*Nigella sativa*) و Bor و همکاران (۲۰۰۳) در چغندر قند (*Beta Vulgaris*) مطابقت دارد که افزایش مقدار MDA برگ را با افزایش غلظت نمک کلریدسدیم گزارش کردند. در پژوهشی هم که بر گیاه ویرجینیکا (*Kosteletzkya virginica*) تحت تنش شوری (صفر، ۱۰۰، ۲۰۰ و ۴۰۰ میلی‌مولاR) انجام شد، مقدار MDA در شرایط شور افزایش نشان داد و تیمار گیاه با ۰/۰۶ میلی‌مولاR ترکیب SNP توانست موجب مهار افزایش MDA در برگ و ریشه‌های گیاه شود (Yuqi *et al.*, 2009). با توجه به نتایج، این طور به نظر می‌رسد که نقش NO در جلوگیری از



تیمارهای آزمایش

شکل ۶- اثر برهمنکش سطوح شوری و SNP بر تغییرات مالوندی آبدید (MDA) برگ سرخارگل. مقادیر، میانگین سه تکرار  $\pm$  (خطای معیار) است. حروف متفاوت بینگر اختلاف معنی دار با استفاده از آزمون LSD است. S1 تا S3 به ترتیب سطح صفر، ۷۵ و ۱۵۰ میلی مولار محلول NaCl؛ N1 تا N4 به ترتیب سطح صفر، ۰/۲، ۰/۴ و ۰/۶ میلی مولار محلول SNP

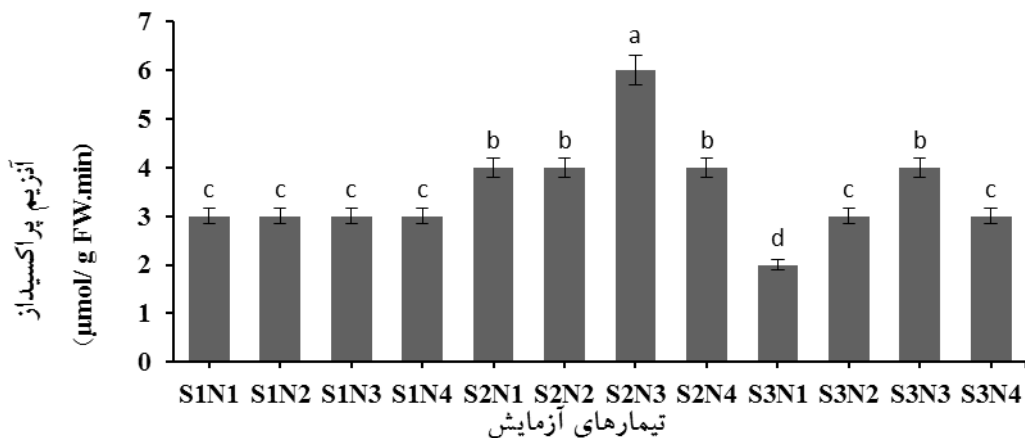


تیمارهای آزمایش

شکل ۷- اثر برهمنکش سطوح شوری و SNP بر فعالیت آنزیم سوپراکسیدیسموتاز (SOD) در برگ سرخارگل. مقادیر، میانگین سه تکرار  $\pm$  (خطای معیار) است. حروف متفاوت بینگر اختلاف معنی دار با استفاده از آزمون LSD است. S1 تا S3 به ترتیب سطح صفر، ۷۵ و ۱۵۰ میلی مولار محلول NaCl؛ N1 تا N4 به ترتیب سطح صفر، ۰/۲، ۰/۴ و ۰/۶ میلی مولار محلول SNP

نسبت به بقیه تیمارها بودند به طوری که تیمار ۰/۲ میلی مولار SNP بیشترین فعالیت این آنزیم را با ۵/۶۳ میکرومول بر گرم بافت تازه در دقیقه نشان داد (شکل ۸). در تشابه با نتایج این آزمایش، افزایش فعالیت آنزیم POD تحت تنفس شوری در پژوهش Ashraf و Ali (۲۰۰۸) در برگ کلزا و اسدی صنم و همکاران (۱۳۹۳) در برگ جو هم، مشاهده می شود. در مطالعه

با توجه به نتایج تجزیه واریانس، برهمنکش شوری و SNP بر فعالیت آنزیم POD معنی دار بود (جدول ۲). روند تغییرات فعالیت این آنزیم ناشی از افزایش مقدار SNP در هر یک از سطوح شوری، روند افزایشی و مشابه بود (شکل ۸). همان گونه که مشاهده می شود گیاهچه های تیمار شده با SNP تحت شوری ۷۵ میلی مولار دارای بیشترین فعالیت آنزیم POD



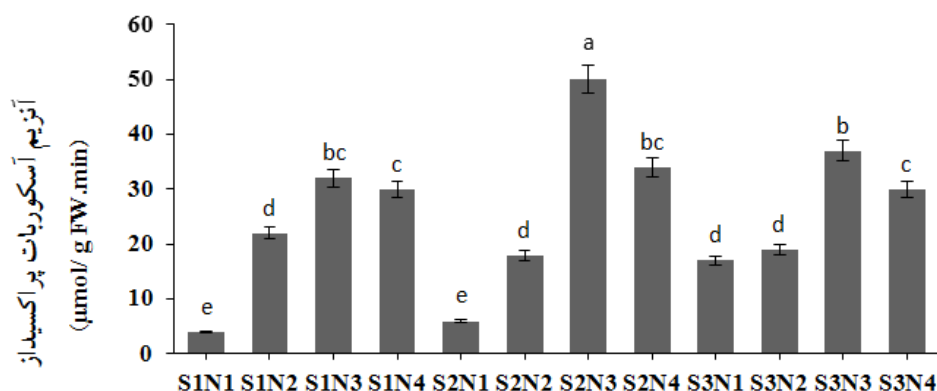
شکل ۸- اثر برهمنش سطوح شوری و SNP بر فعالیت آنزیم پراکسیداز (POD) در برگ سرخارگل. مقادیر، میانگین سه تکرار  $\pm$  SE (خطای معیار) است. حروف متفاوت بیانگر اختلاف معنی دار با استفاده از آزمون LSD است. S1 تا S3 به ترتیب سطح صفر، ۷۵ و ۱۵۰ میلی مولار محلول NaCl؛ N1 تا N4 به ترتیب سطح صفر، ۰/۲، ۰/۱ و ۰/۴ میلی مولار محلول SNP.

همکاران (۱۳۹۳) تحت تنش کلریدسدیم و همچنین Chen و همکاران (۲۰۱۰) تحت تنش کلریدکلسیم در گیاهچه های جو نیز مشاهده شد. افزایش فعالیت آنزیم APX در شرایط تنش می تواند احتمالاً تولید ROS را به مقدار زیادی کاهش دهد و موجب افزایش تحمل شوری شود (Zhu, 2002).

بر اساس نتایج مقایسه میانگین اثر ساده تیمار SNP (شکل ۱۰-a)، بیشترین فعالیت آنزیم CAT (۶/۵۰ میکرومول بر گرم بافت تازه در دقیقه) در تیمار ۰/۲ میلی مولار SNP و کمترین فعالیت آن (۳/۴۲ میکرومول بر گرم بافت تازه در دقیقه) در تیمار شاهد اندازه گیری شد. در شرایط تنش شوری هم، مقدار فعالیت آنزیم CAT به مانند دیگر آنزیم های آنتی اکسیدانی مورد مطالعه در این آزمایش (SOD، POD و APX) در غلاظت ۷۵ میلی مولار کلریدسدیم افزایش نشان داد (شکل ۱۰-b). در مطالعه گیاه ویرجینیکا در شرایط شور نیز فعالیت آنزیم CAT در ریشه ها و برگ ها نسبت به تیمار شاهد کاهش نشان داد و کاربرد تیمار ۰/۰۶ میلی مولار SNP موجب شد که فعالیت این آنزیم افزایش جزئی پیدا کند (Yuqi et al., 2009)؛ به عبارتی، کاربرد SNP تا حدی موجب پاک سازی رادیکال های آزاد و بهبود تحمل شوری شده است. همچنین در آزمایش Tu و همکاران (۲۰۰۳)، برگ های گندم تیمار شده با SNP از طریق فعال سازی آنزیم CAT، فرایند پیرشدگان برگ ها را به تأخیر

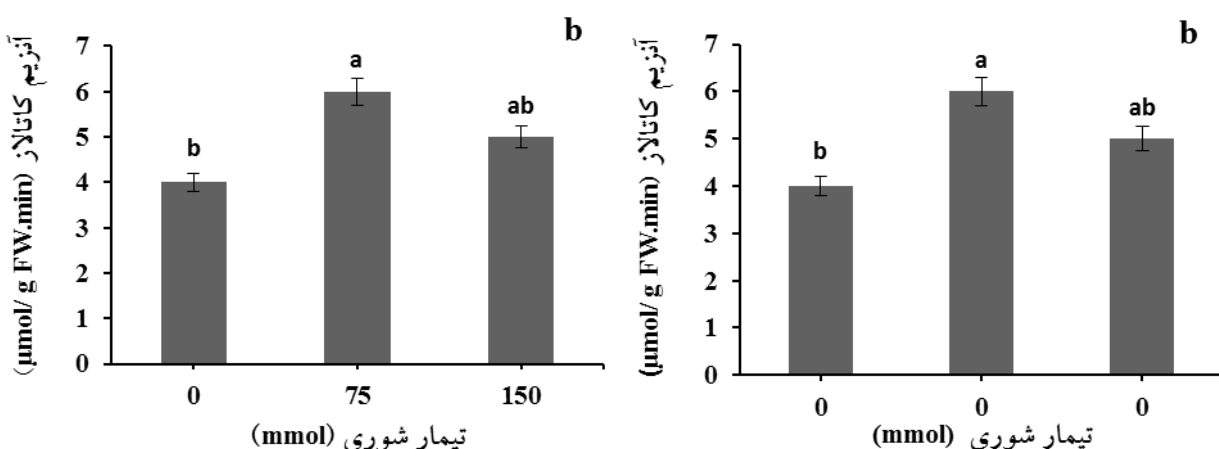
اسدی صنم و همکاران (۱۳۹۳)، کاربرد ۰/۱ میلی مولار SNP توانست با دارا بودن خواص آنتی اکسیدانی و با دخالت پاک سازی یون سوپراکسید، تولید پراکسیدهیدروژن درون سلولی را در شرایط تنش کاهش دهد و سبب افزایش فعالیت آنزیم POD شود؛ در حالی که افزایش غلاظت SNP به ۰/۲ میلی مولار، سبب کاهش فعالیت آنزیمی در شرایط شور و حتی نسبت به تیمار شاهد شد.

آنزیم APX یکی از آنتی اکسیدان های قوی می باشد که در بیشتر سلول های گیاهی و اندامک هایی مانند کلروپلاست و آپوپلاست وجود دارد (Detullio et al., 1999). بر مبنای نتایج تجزیه واریانس داده ها (جدول ۲)، بر همکنش شوری و SNP در گیاهچه های سرخارگل موجب افزایش معنی دار فعالیت آنزیم APX شده است. نتایج مقایسه میانگین ها نشان دهنده روند افزایشی و مشابه تغییرات فعالیت آنزیم APX ناشی از افزایش مقدار SNP در هر یک از سطوح شوری بوده است (شکل ۹). با توجه به نتایج این آزمایش، تیمار ۰/۲ میلی مولار SNP توانست فعالیت آنزیم APX را در هر سه سطح شوری افزایش دهد (شکل ۹). بیشترین فعالیت آنزیم APX هم، مشابه با فعالیت دو آنزیم SOD و POD در غلاظت ۷۵ میلی مولار نمک کلریدسدیم اندازه گیری شد (شکل ۹). افزایش فعالیت آنزیم APX تحت تیمار های SNP در پژوهش اسدی صنم و



#### تیمارهای آزمایش

شکل ۹- اثر برهم‌کنش سطوح شوری و SNP بر فعالیت آنزیم آسکوربات‌پراکسیداز (APX) در برگ سرخارگل. مقادیر، میانگین سه تکرار  $\pm$  (خطای معیار) است. حروف متفاوت بیانگر اختلاف معنی‌دار با استفاده از آزمون LSD است. S3 تا N3 به ترتیب سطح صفر، ۷۵ و ۱۵۰ میلی‌مولار محلول NaCl تا N4 به ترتیب سطح صفر، ۰/۱، ۰/۰۲ و ۰/۰۴ میلی‌مولار محلول (SNP)

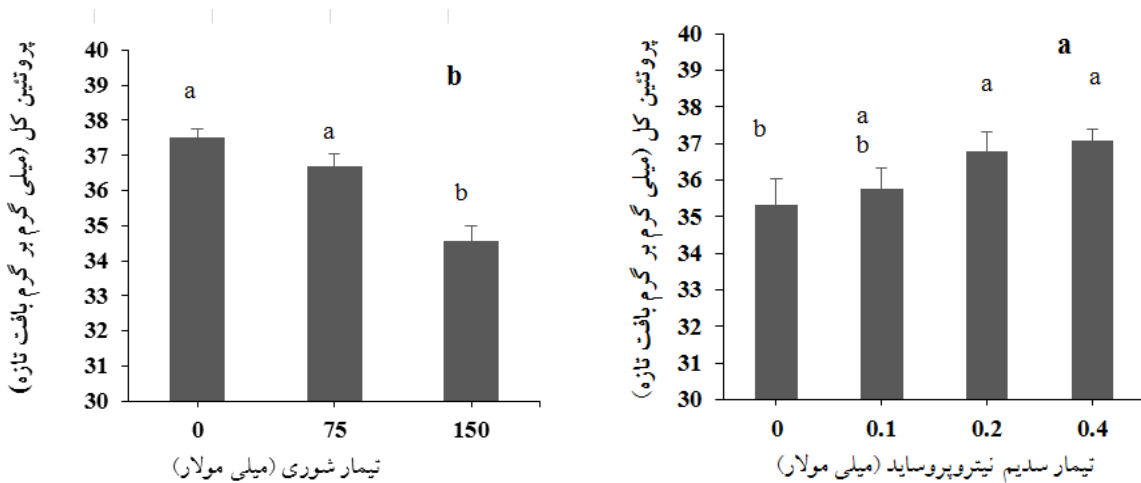


شکل ۱۰- (a) اثر ساده تیمارهای SNP بر فعالیت آنزیم کاتالاز (CAT) (b) اثر ساده تیمارهای شوری بر فعالیت آنزیم کاتالاز (CAT) در برگ سرخارگل. مقادیر، میانگین سه تکرار  $\pm$  (خطای معیار) است. حروف متفاوت بیانگر اختلاف معنی‌دار با آزمون LSD است.

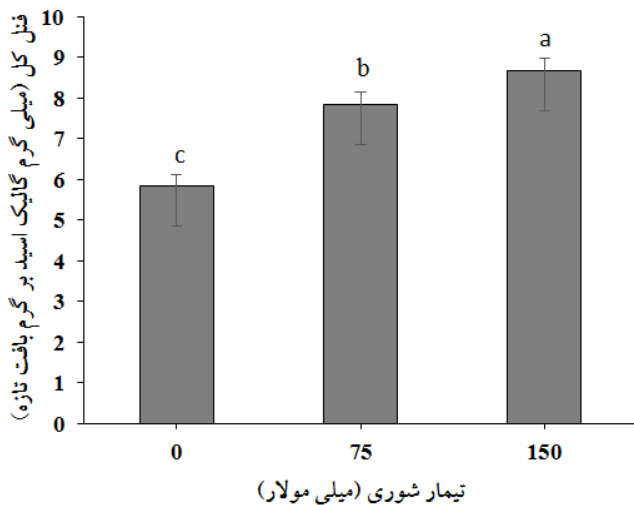
میلی‌مولار SNP بود که با تیمار ۰/۰۴ میلی‌مولار SNP در یک گروه آماری قرار گرفت. کمترین مقدار پروتئین برگ‌ها ۳۵ میلی‌گرم بر گرم بافت تازه) مربوط به تیمار شاهد (سطح صفر (SNP) بود که نشان‌دهنده این است که تیمار SNP موجب بهبود محتوای پروتئین برگ‌ها در گیاهچه‌های سرخارگل می‌شود (شکل ۱۱-a). همچنین با افزایش شوری، مقدار پروتئین برگ‌های سرخارگل کاهش یافت که بیشترین کاهش در غلاظت ۱۵۰ میلی‌مولار کلریدسدیم ثبت شد (شکل ۱۱-b). در آزمایشی که اسدی صنم و همکاران (۱۳۹۳) بر گیاهچه‌های

انداخت. Huaifu و همکاران (۲۰۰۷) هم افزایش معنی‌دار و قابل توجه فعالیت آنزیم CAT را با تیمار NO در شرایط شور نشان دادند.

پروتئین کل: بر مبنای نتایج تجزیه واریانس (جدول ۲)، برهم‌کنش شوری و SNP بر مقدار پروتئین کل معنی‌دار نشد اما اثر ساده شوری و SNP بر مقدار پروتئین کل در برگ‌های سرخارگل در سطح یک درصد معنی‌دار بود. نتایج مربوط به تیمار SNP (شکل ۱۱-a) نشان داد که بیشترین مقدار پروتئین برگ‌ها (۳۷ میلی‌گرم بر گرم بافت تازه) مربوط به تیمار ۰/۰۲



شکل ۱۱- (a) اثر ساده SNP بر تغییرات پروتئین کل برگ سرخارگل (b) اثر ساده شوری بر تغییرات پروتئین کل برگ سرخارگل. مقادیر، میانگین سه تکرار  $\pm$  SE (خطای معیار) است. حروف متفاوت بیانگر اختلاف معنی دار با استفاده از آزمون LSD است.



شکل ۱۲- اثر ساده سطوح شوری بر تغییرات فل کل برگ سرخارگل. مقادیر، میانگین سه تکرار  $\pm$  SE (خطای معیار) است. حروف متفاوت بیانگر اختلاف معنی دار با استفاده از آزمون LSD است.

(جدول ۲). با این وجود تجزیه واریانس دادهها، افزایش معنی دار اثر ساده تنیش شوری بر محتوای فل کل برگ سرخارگل را نشان داد به طوری که بیشترین مقدار فل کل در بالاترین سطح شوری (۱۵۰ میلی مولار کلرید سدیم) به دست آمد (شکل ۱۲). این نتیجه مشابه با نتایج رضایتمند و همکاران (۱۳۹۲) بود که افزایش فل کل گیاه درمنه کوهی همکاران (۱۳۹۲) بود که افزایش فل کل گیاه درمنه کوهی (Artemisia aucheri) را تحت تنیش شوری نشان دادند. بسیاری از ترکیبات فلی از پالاینده های بسیار کارآمد پراکسید هیدروژن و رادیکال های هیدروکسیل و متوقف کننده زنجیره های پراکسیداسیون لبید هستند. افزایش مقدار این

جو انجام دادند، مقدار پروتئین برگ های جو تحت تأثیر معنی دار بر هم کنش شوری و SNP قرار گرفت. در آزمایش این پژوهش گران، مقدار پروتئین موجود در عصاره نمونه هایی که با SNP در دو سطح ۰/۱ و ۰/۲ میلی مولار در شرایط سور تیمار شدند، افزایش معنی داری نسبت به تیمار شاهد (گیاه هایی که تیمار آنها با آب خالص بوده است) نشان داد که این افزایش برای غلظت ۰/۱ میلی مولار SNP در مقایسه با آب خالص بیشتر از ۵۰ درصد بود.

**فل کل:** با توجه به نتایج تجزیه واریانس، بر هم کنش تیمار شوری و SNP بر مقدار فل کل برگ سرخارگل معنی دار نبود

اکسیداتیو می‌باشد. از بین تیمارهای اعمال شده، تیمار ۰/۲ میلی‌مولار SNP در تنش ۷۵ میلی‌مولار کلریدسدیم توانست موجب افزایش ماده خشک گیاهچه و فعالیت آنزیم‌های آنتی‌اکسیدانی در گیاهان تنش‌دیده شود. در کل به نظر می‌رسد آنتی‌اکسیدانی NO حاصل از پیش‌تیمار SNP توانست از راه افزایش فعالیت آنزیم‌های آنتی‌اکسیدانی موجب کاهش خسارت رادیکال‌های آزاد و در نتیجه افزایش تحمل گیاهچه‌های سرخارگل و بهبود نسبی آن‌ها تحت تنش شوری شود.

ترکیب، احتمالاً به دلیل نقش آنتی‌اکسیدانی آن‌ها در برابر ROS هاست.

### نتیجه‌گیری کلی:

با توجه به یافته‌های به دست آمده از این آزمایش می‌توان چنین استنباط کرد که شوری ایجاد شده توسط نمک کلریدسدیم موجب ایجاد خسارت‌هایی به گیاهچه‌های سرخارگل می‌شود که احتمالاً مربوط به تجمع رادیکال‌های اکسیژن و تنش

### منابع:

- احمدپور دهکردی، س. و بلوچی، ح. ر. (۱۳۹۱) اثر پرایمینگ بذر بر آنزیم‌های آنتی‌اکسیدانی و پراکسیداسیبون لیپید غشاء سلول گیاهچه‌های سیاهدانه (*Nigella sativa* L.) تحت تنش شوری و خشکی، مجله الکترونیک تولید گیاهان زراعی ۵: ۸۵-۶۳.
- اسدی صنم، س.، زواره، م.، پیردشتی، ه. ا. و هاشمپور، ا. (۱۳۹۳) اثر سدیم‌نیتروپروساید (SNP) بر برخی ویژگی‌های بیوشیمیایی گیاهچه‌های جو در تنش شوری، نشریه پژوهش‌های تولید گیاهی ۳: ۱۸۹-۱۷۱.
- امیدیگی، ر. (۱۳۸۴) تولید و فراوری گیاهان دارویی. انتشارات استان قدس رضوی ۱: ۳۴۷ صفحه.
- دادمان، ب.، کبدانی، م. و امیدیگی، ر. (۱۳۸۴) بررسی تولید و مراحل فنولوژیکی گیاه دارویی سرخارگل به عنوان ماده اولیه تولید داروهای تقویت کننده سیستم دفاعی، چهارمین کنگره علوم باطنی ایران، مشهد: ۳۷-۲۵.
- دهقانی، ا. و مستاجران، ا. (۱۳۸۹) اثر تنش شوری بر رشد رویشی و فعالیت آنزیم‌های آنتی‌اکسیدانی و دفاعی در گیاه زنجبل (Zingiber officinal Roscoe)، مجله داروهای گیاهی ۱: ۸-۱.
- رضایت‌مند، ز.، خاوری‌نژاد، ر. ع. و اصغری، غ. ر. (۱۳۹۲) اثر سالیسیلیک بر برخی شاخص‌های فیزیولوژیکی و بیوشیمیایی گیاه درمنه کوهی (*Artemisia aucheri* Boiss) تحت تنش شوری، زیست‌شناسی گیاهی ایران ۵: ۷۰-۵۷.
- کوهی‌فایق، ش.، حکیمی، م. ح.، مصلح ارانی، ا.، میرشمسمی، ه. ا. و کیانی، ب. (۱۳۹۲) بررسی اثرات سدیم‌نیتروپروساید و اسید سالیسیلیک بر برخی خصوصیات فیزیولوژیکی زیتون تلح تحت تنش شوری، دو فصلنامه علمی پژوهشی خشک بوم ۳: ۷۱-۶۲.
- نصیبی، ف.، منوچهری کلانتری، خ. و خداشناس، م. (۱۳۸۸) اثر پیش‌تیمار سدیم‌نیتروپروساید (SNP) بر برخی عوامل بیوشیمیایی گیاهچه گوجه فرنگی (*Lycopersicum esculentum*) تحت تنش خشکی، مجله علوم کشاورزی و منابع طبیعی ۱۶: ۱۴-۱.
- Arnon, A. N. (1967) Method of extraction of chlorophyll in the plants. *Agronomy Journal* 23: 112-121.
- Ashraf, M. (2001) Relationships between growth and gas exchange characteristics in some salt tolerant amphidiploids *Brassica* species in relation to their diploid parents. *Environmental and Experimental Botany* 45: 155-163.
- Ashraf, M. and Ali, Q. (2008) Relative membrane permeability and activities of some antioxidant enzymes as the key determinants of salt tolerance in canola (*Brassica napus* L.). *Environmental and Experimental Botany* 63: 267-273.
- Bandeoglu, E., Eyidogan, F., Yucel, M., and Oktem, H. A. (2004) Antioxidant response of shoots and roots of lentil to NaCl salinity stress. *Plant Growth Regulation* 42: 69-77.
- Bauer, R. (1999) Chemistry, analysis and immunological investigations of *Echinacea* phytopharma-ceuticals. In: *Immunomodulatory Agents from Plants* (eds. Wagner, H.) Pp. 41-88. Birkhäuser. Basel, Switzerland.
- Bauer, R. and Remiger, P. (1989) TLC and HPLC analysis of alkylamides in *Echinaceae* drugs. *Planta Medica* 55: 3167-371.
- Beligni, M. V. and Lamattina, L. (2000) Nitric oxide stimulates seed germination and de-etiolation, and inhibits hypocotyl elongation, three light inducible responses in plants. *Planta* 210: 215-221.
- Beligni, M. V. and Lamattina, L. (2001) Nitric oxide in plants the history is just begining. *Plant Cell and Environment* 24: 267-278.

- Bor, M. O., Zdemir, F. and Turkan, I. (2003) The effect of salt stress on lipid peroxidation and antioxidants in leaves of sugar beet (*Beta vulgaris* L.) and wild beet (*B. maritima* L.). *Plant Science* 164: 77-84.
- Boyatshinov, A. V. and Asafova, E. V. (2011) Stress responses of wheat leaves to dehydration participation of endogenous NO and effect of sodium nitroprusside. *Russian Journal of Plant Physiology* 58: 1034-1039.
- Bradford, M. M. (1976) Rapid and sensitive method for the quantitation of microgram quantities of protein utilizing the principle of protein dye binding. *Analytical Biochemistry* 72: 248-254.
- Chen, F., Wang, F., Cai, Y. and Mao, W. (2010) Genotype-dependent effect of exogenous nitric oxide on Cd-induced changes in antioxidative metabolism, ultrastructure, and photosynthetic performance in barley seedling (*Hordeum vulgare*). *Journal of Plant Growth Regulation* 4: 394-408.
- Detullio, M. C., Paciolla, C., Dalla Vecchia, F., Rascio, N., Damrco, S., De Gara, L. and Liso, R. (1999) Change in onion root development induced by the inhibition of the ascorbate system on cell division and elongation. *Planta* 209: 424-434.
- EI-Tayeb, M. A. (2005) Response of barley grains to the interactive effect of salinity and salicylic acid. *Journal of plant Growth Regulation* 46: 215-225.
- Giannopolitis, C. N. and Reis, S. K. (1997) Superoxide dismutase. I. Occurrence in higher plants. *Plant physiology* 59: 309- 314.
- Hayouni, E. A., Chraief, I., Abedrabna, M., Bouir, M., Lereau, J.Y., Mohammwd, H. and Hamidi., M. (2008) Tunisian *Salvia officinalis* L. and *Schinus Molle* L. essential oils: Their chemical composition and their preservative effects against *Salmonella* inoculated in minced beef meat. *International Journal of Food Microbiology* 125: 242-251.
- Heat, R. L. and packer, L. (1968) Photoperoxidation in isolated chloroplasts. I. Kinetics and stoichiometry of fatty acid peroxidant. *Archives of Biochemistry and Biophysics* 125: 189-198.
- Huaifu, F., Shirong, G., Yansheng, J., Runhua, Z. and Juan, L. (2007) Effect of exogenous nitric oxide on growth, active oxygen species metabolism and photosynthetic characteristics in cucumber seedling under NaCl stress. *Frontiers of Agriculture in China* 1: 308-314.
- In, B. C., Motomura, S., Inamoto, K., Doi, M. and Mori, G. (2007) Multivariate analysis of relation between preharvest environmental factors, postharvest morphological and physiological factors and vase life of cut "Asomi Red" roses. *Journal of the Japanese Society for Horticultural Science* 76: 66-72.
- Jamil, M., Chunlee, C., Rehman, S. U., Baelee, D., Ashraf, M. and Tha, E. S. (2005) Salinity (NaCl) tolerance of *Brassica* species at germination and early seedling growth. *Ejeafch* 4: 970-976.
- Kaya, C., Sonmez, O., Aydemir, S. and Dikilitas, M. (2013) Mitigation effect of glycinebetaine on oxidative stress and some key growth parameters of maize exposed to salt stress. *Turkish Journal of Agriculture and Forestry* 7: 188-194.
- Kiraly, I. and Czovek, P. (2002) Changes of MDA level and O<sub>2</sub> scavenging enzyme activities in wheat varieties as a result of PEG treatment. *Proceeding of the Hungarian on Plant physiology* 46: 105-106.
- Klessig, D. F., Durner, J., Noud, R., Navarre, D. A., Wandehenne, D., Kumar, D., Zhou, J.M., Shah, J., Zhang, S. and Kachroo, P. (2000) Nitric oxide and salicylic acid signaling in plant defense. *Proceedings of the National Academy of Sciences of the United States of America* 97: 8849-8855.
- Lei, y., Yin, C., Ren, J. and Li, C. (2007) Effect of osmotic stress and sodium nitroprusside pretreatment on proline metabolism of wheat seedlings. *Biologis plantarum* 516: 386-390.
- Li, Q.Y., Niu, H. B., Yin, J., Wang, M.B., Shao, H.B., Deng, D.Z., Chen, X.X., Ren, J.P. and Li, Y.C. (2008) Protective role of exogenous nitric oxide against oxidative-stress induced by salt stress in barley (*Hordeum vulgare*). *Colloids and Surfaces B. Biointerfaces* 56: 220-225.
- Luck, H. (1974) In: *Methods in enzymatic analysis* (Ed Beemeyer). Academic press New York 1: 885.
- Melchart, D. and Linda, K. (1994) Immunomodulation with *Echinaceae*, a systematic review of controlled clinical trial. *Phytomed* 1: 254-255.
- Meyers K. J., Watkins C. B., Pritts M. P. and Hai-Liu R., (2003) Antioxidant and antiproliferative activities of strawberries. *Agricultural and Food Chemistry* 51: 6887-6892.
- McGregor, R. L. (1968) The taxonomy of the genus *Echinaceae* (Compositae). *University Science Bulletin* 48:113-142.
- Miri, Y. and Mirjalili, S. A. (2013). Effects of salinity stress on seed germination and some physiological traits in primary stages of growth in purple coneflower (*Echinacea purpurea*). *International Journal of Agronomy and Plant Production* 4: 142-146.
- Misra, N. and Gupta, A. K. (2006) Effect of salinity and different nitrogen sources on the activity of antioxidant enzymes and indole alkaloid content in *Catharanthus roseus* seedling. *Journal of Plant Physiology* 163: 11-18.
- Mittler, R. (2002) Oxidative stress, antioxidants and stress tolerance. *Trends in Plant Science* 7: 405-410.
- Munns, R., Hare, R. A., James, R. A. and Rebetzke, G. J. (2000) Genetic variation for improving the salt resistance of durum wheat. *Australian Journal of Agriculture Research* 51: 69-74.
- Nakano, Y. and Asada, K. 1981. Hydrogen peroxide is scavenged by ascorbate specific oxidase in chloroplasts. *Plant cell physiology* 22: 867-880.

- Netondo, G. W., Onyango, J. C. and Beck, E. (2004) Sorghum and salinity Response of growth, water relations, and ion accumulation to NaCl salinity. *Crop Science* 44: 797-805.
- Noctor, G. and Foyer, C. H. (1998) Ascorbate and glutathione: keeping active oxygen under control. *Annual Review of Plant Physiology and Plant Molecular Biology* 49: 249-279.
- Saqib, M., Akhtar, J. and Qureshi, R. H. (2005) Na<sup>+</sup> exclusion and salt resistance of wheat (*triticum aestivum*) in saline-waterlogged conditions are improved by the development of adventitious nodal roots and cortical root aerenchyma. *Plant Science* 169: 125-130.
- SAS Institute. (2002) SAS/STAT user's Guide, Release G. 12. SAS Institute Cary. North Carolina. USA.
- Sabra, A., Daayf, F. and Renault, S. (2012). Differential physiological and biochemical response of three *Echinacea* species to salinity stress. *Scientia Horticulturae* 135: 23-31.
- Singh, A. K. (2004) The physiology of salt tolerance in four genotypes of chickpea during germination. *Journal of Agricultural Science and Technology* 6: 87-93.
- Tian, X. and Li, Y. (2007) Nitric oxide treatment alleviates drought stress in wheat seedlings. *Biologia plantarum* 50: 775-778.
- Tu, J., Shen, W. B. and Xu, L. L. (2003) Regulation of nitric oxide on the aging process of wheat leaves. *Acta Botanica Sinica* 45: 1055-1062.
- Yadolahi Zadeh, S., Ramin, A. A. and Baninasab, B. (2015). Effect of gibberellic acid, stratification and salinity on seed germination of *Echinacea purpurea* cv. Magnus. *Herba Polonica* 61: 13-22.
- Yuqi, G., Zengyuan, T., Daoliang, Y., Jie, Z. and Pei, Q. (2009) Effects of nitric oxide on salt stress tolerance in *Kosteletzky virginica*. *Life Science Journal* 6: 67-57.
- Zekri, M. and Parsons, C. R. (1990) Comparative effect of NaCl and polyethel glycol on root distribution growth and stomatal conductance of sour orange seedling. *Plant and soil* 129: 137-143.
- Zheng, C., Jiang, D., Liu, F., Dai, T., Liu, W., Jing, Q. and Cao, W. (2009) Exogenous nitric oxide improves seed germination in wheat against mitochondrial oxidative damage induced by high salinity. *Environmental and Experimental Botany* 67: 222-227.
- Zhu, J. K. (2002) Salt and drought stress signal transduction in plants. *Annual Review of Plant Physiology and Plant Molecular Biology* 53: 247-273.

## Effect of sodium nitroprusside (SNP) on some of biochemical characteristics of purple coneflower [*Echinacea purpurea* (L.) Moench] under salinity stress

Seyede Mohadeseh Mohammadi<sup>1</sup>, Valiollah Rameeh<sup>2</sup>, Mahyar Gerami<sup>3</sup>, Samaneh Asadi-Sanam<sup>4\*</sup>, Majid Khosh rooz<sup>5</sup>

<sup>1</sup> Ms.c graduated of medical plants, <sup>2</sup>Department of Agronomic and Horticulture Crops Research, Mazandaran Agricultural and Natural Resources Research and Education Center, AREEO, Sari, Iran, <sup>3</sup> Department of Plant Physiology, Sana Institute of Higher Education, Mazandaran, Sari, <sup>4\*</sup> Department of Medicinal Plants, Research Institute of Forests and Rangelands, AREEO, Tehran, Iran, <sup>5</sup>Department of Plant Biotechnology, Sana Institute of Higher Education, Mazandaran, Sari.

(Received: 19/05/ 2016, Accepted: 28/08/2016)

### Abstract:

In order to evaluate the effect of sodium nitroprusside (SNP) in reducing oxidative stress in purple coneflower (*Echinacea purpurea*) seedlings under saline condition, a factorial experiment with arrange of completely randomized design with four replications was conducted in research greenhouse at Sana Institute of Higher Education in 2015. In this study, the effect of the SNP as doner of nitric oxide (NO) at 4 levels (0, 0.1, 0.2 and 0.4 mM) and 3 levels of salinity stress (0, 75 and 150 mM of NaCl) were evaluated. The results showed that the interaction between SNP and salinity on fresh and dry weight of root and leaf, carotenoid and malondialdehyde (MDA) contents, enzyme activities of superoxide dismutase (SOD), peroxidase (POD) and ascorbate peroxidase (APX) were significant. With increasing of salinity concentration, root fresh and dry weights were decreased, whereas the traits were increased by 0.2 mM of SNP under salinity. The chlorophyll a, b and total chlorophyll contents were decreased with increasing of salinity, whereas the highest amount of carotenoid were measured in 0.4 mM SNP under salinity conditions. The maximum level of MDA (33 nm g<sup>-1</sup> FW) was related to 0 mM SNP and 150 mM of NaCl. The highest activities of antioxidant enzymes SOD, POD and APX were measured in 0.2 mM SNP and 75 mM of NaCl. The highest CAT activity (6.50 µM g<sup>-1</sup> FW. Min.) was measured in 0.2 mM SNP that showed 90 % increasing compared with the control treatment. Total protein content was decreased 5.4 % under salinity stress. The highest content of total phenol (8.68 mg gallic acid g<sup>-1</sup> FW) was also observed in the highest level of salinity. Overall, it seemed that SNP pre-treatment increased resistance of *Echinacea* seedlings under salinity stress by increasing of antioxidant enzymes activity caused.

**Keywords:** Antioxidant enzymes, Malondialdehyde, Protein, Total phenol, Nitric oxide.

\*Corresponding Author, Email: asadisanam@rifr.ac.ir